

# МОРФОЛОГІЧНІ ЗМІНИ ГІПОФІЗАРНО-АДРЕНАЛОВОЇ СИСТЕМИ ЩУРІВ ПРИ ТЕРМІЧНІЙ ТРАВМІ

Ковалсьчук О.І., Дзевульська І.В., Титаренко В.Н., Маліков О.В.

Національний медичний університет імені О.О.Богомольця, м. Київ, Україна

**Ключові слова:** опік, аденогіпофіз, надніркова залоза, структурні зміни.

**Вступ.** Пошкодження шкіри вважається головним патогенетичним чинником, що зумовлює розвиток опікової хвороби [1]. Глибокі опіки характеризуються не лише пошкодженням шкіри, а й викликають тривалі структурно-функціональні зміни внутрішніх органів, розвитку поліорганної недостатності, що об'єднані в нозологічну форму “опікова хвороба” [2].

В формуванні опікового шоку важливу роль відіграють органи гіпофізарно-адреналової системи, що ініціює стресорні реакції організму. Проте на сьогодні недостатньо досліджень присвячені вивченням їх гормональної секреції та ультрамікроскопічних змін в різні періоди опікової хвороби [3, 4].

В клінічних дослідженнях встановлено, що після тяжкої термічної травми розвивається гіперфункція надніркової залози з наростаючою продукцією гідрооксикортикоїдів, анаболічних гормонів і мінералокортикоїдів, а в період токсемії – пригнічування секреторної функції [5, 6]. Ці зміни в свою чергу контролюються секреторною активністю аденоіндофіза в період опікового шоку за рахунок виділення тропних гормонів [7]. Вірогідно, функціональне виснаження нейроендокринної регуляції залучене до формування синдрому поліорганної недостатності, зокрема розвитку вторинного імунодефіциту і судинної дисфункциї. Припускається, що в складному і недостатньо вивченному патогенезі опікового шоку одне з головних місць належить ендогеній інтоксикації та гемоконцентрації на тлі значної плазмовтрати [8, 9]. На сьогодні досліджено морфологічні зміни в багатьох органах, проте динаміка структурних змін гіпофізарно-адреналової системи залишається недостатньо вивченою. В зв'язку із цим ми досліджували структурні зміни аденоіндофіза і надніркової залози, їх мікроциркуляторного русла при експериментальному термічному опіку.

**Матеріали і методи.** Експериментальне дослідження морфологічних змін в аденоіндофізі та надніркових залоз при опіковій хворобі (через 1, через 3, через 7, через 14, через 21, через 30 діб) та за умов дії інфузійних колоїдно-гіперосмолярних препаратів дезінтоксикаційної, реологічної, енергетичної, протишокової дії НАЕС-LX-5% та лактопротеїну з сорбітолом (фірмова назва препарату – “Лактопротеїн – С”) було виконано на 90 щурах-самцях лінії Вістар масою 155-160 грам.

Лактопротеїн-С – це інфузійний колоїдно-гіперосмолярний препарат, який містить альбумін (5%), сорбітол (6%), натрію лактат (2,1%), а також електроліти в збалансованому співвідношенні.

ваних кількостях. Теоретична осмолярність препарату – 1020 мОsm/л. Лактопротеїн-С показаний до застосування як засіб корекції кислотно-щелочного стану і гіпопротеїнемії, покращення мікроциркуляції, зменшення інтоксикації, покращення гемодинаміки при травматичному, операційному, гемолітичному та опіковому шоку, при опіковій хворобі; в післяоперативному періоді після порожнинних операцій; при гіпопротеїнемії різноманітного походження, хронічних гепатитах, при різних інфекційних захворюваннях [4, 6, 7].

Утримання та маніпуляції з тваринами проводили у відповідності до “Загальних етичних принципів експериментів на тваринах”, ухвалених Першим національним конгресом з біоетики (Київ, 2001), також керувалися рекомендаціями “Європейської конвенції про захист хребетних тварин, які використовуються для експериментальних та інших наукових цілей” (Страсбург, 1985) і положеннями “Правил до клінічної оцінки безпеки фармакологічних заходів (GLP)”.

Тварини були розділені на 7 груп: I – інтактні тварини, II, III, IV – щури без термічної травми, яким проводилась окрема інфузія 0,9% розчину NaCl, НАЕС-LX-5% та лактопротеїну-С відповідно у дозі 10 мл/кг; V; VI; VII – тварини з опіком, яким за аналогічною схемою та у такому ж дозовому режимі проводили окреме введення досліджуваних речовин.

Опік (після відповідної премедикації) викликали шляхом прикладання до бічних поверхонь тулуза тварин чотирьох мідних пластинок (по дві пластинки з кожного боку), які попередньо тримали протягом шести хвилин у воді з постійною температурою 100 °C. Загальна площа опіку у щурув зазначененої маси складала 21-23% при експозиції 10 сек., що є достатнім для формування опіку II ступеня – дермального поверхневого опіку (колишній III А ступінь) та розвитку шокового стану середнього ступеня важкості.

Досліджувані розчини вводили внутрішньовенно протягом 5-6 хв. у дозі 10 мл/кг маси тіла. Інфузію проводили у нижню порожниstu вену, для чого виконували її катетеризацію в асептичних умовах через стегнову вену. Катетер, встановлений у стегновій вені, підшивали під шкіру. Його просвіт по всій довжині заповнювали титрованим розчином гепарину (0,1 мл гепарину на 10 мл 0,9% розчину NaCl) після кожного введення речовин. Перше введення розчинів здійснювали через 1 годину після моделювання патологічного стану, наступні інфузії виконували щоденно загалом впродовж 7 діб.

Проведені нами попередні дослідження показали (табл. 1), що щури-самці без будь-якої фармакокорекції на фоні опікової травми шкіри гинули всі на 9-у добу експерименту, а на 7-у добу летальність складала 80%, в зв'язку з чим (враховуючи питання біоетики), практично не можливим було набрати коректну, у кількісному відношенні, групу контролю з чистим опіком шкіри без лікування. Тому задля контролю лікувальної дії гіперосмолярних розчинів ми спиралися на групу тварин, які на фоні опіку шкіри отримували 0,9 % розчин NaCl.

**Таблиця 1**  
**Летальність щурів після опікової травми шкіри без введення будь-яких фармакологічних розчинів**

Кількість щурів	Термін спостереження (дoba)								
	1	2	3	4	5	6	7	8	9
n=10	n=3	n=1	n=2	n=0	n=1	n=0	n=1	n=0	n=2

У групі тварин з опіковою травмою шкіри, яким вводили 0,9 % розчин NaCl, виявлене (табл. 2) прогресуюче збільшення показника летальності від 5% через 1-у добу до 11% у проміжку від 4-ї до 7-ї доби з наступним поступовим зменшенням величини даного показника до 3% у проміжку від 22-ї до 30-ї доби після опіку шкіри. Загальний показник летальності в групі щурів самців, яким після опіку шкіри вводили 0,9% розчин NaCl склав 43,5%. Окрім лікувальної курсової терапії щурів з опіковою травмою шкіри розчином HAES-LX-5% подібно до такої лактопротеїном-С суттєво перешкоджала загибелі тварин упродовж усього спостереження.

Через 1, 3, 7, 14, 21 і 30 добу після опіку здійснювали забір фрагментів надніркової залози, аденоґіофіза, тимуса для ультраструктурного та світломікроскопічного дослідження (під тіопенталом натрію в дозі 60 мг/кг). У тварин після декапітації робили розтин порожнини черепа, черевної та грудної порожнини і вирізали за допомогою леза невеликі шматочки органів. Для електронномікроскопічного дослідження фрагменти тканин органів фіксували 2,5% розчином глютарового альдегіду на фосфатному буфері з дофіксациєю у 1% забуфероному розчині чотирьохокису осмію. Зневоднювання проводили у спиртах зростаючої концентрації (70%, 80%, 90%, 100%) та ацетоні. Просочували та заливали у суміш епон-арал-

дит, згідно загальноприйнятій методиці. Для прицільної орієнтації напівтонкі зрізи забарвлювали толуїдиновим синім, після чого на ультратомі LKB III (Швеція) та Reihart (Австрія) виготовляли ультратонкі зрізи. Контрастування проводили 2% розчином уранілацетату та цітратом свинцю. Препарати досліджували та фотографували під електронним мікроскопом Tescan Mira 3 LMU (Чехія) та ПЕМ-125K при збільшеннях в 6–70 тисяч. Для світлооптичного дослідження фрагменти тканин після стандартної методики фіксації та заливки в парафін гістологічні зрізи профарбовували методом гематоксилін-пікрофуксін, гематоксилін-еозин. Морфометричне дослідження було проведено із використання мікроскопу Olympus BX51 (Японія). Отримані результати дослідження статистично обробляли з використанням t-критерію Стьюдента.

Експеримент був здійснений на базі Науково-дослідного центру (директор – професор І.В. Гунас) Вінницького національного медичного університету імені М.І. Пирогова. Електронномікроскопічне дослідження виконано на базі відділу електронної мікроскопії (науковий керівник – професор Л.О. Стеченко) Інституту проблем патології Національного медичного університету імені О.О. Богомольця.

**Результати дослідження.** При гістологічному та електронномікроскопічному дослідження встановлено неспецифічні деструктивні зміни паренхіми та стромальних елементів аденоґіофіза і надніркової залози. В табл. 3 і 4 представлено зміни морфометричних парламентів ендокриноцитів і гемокапілярів досліджуваних нейроендокринних залоз. Описуючи гістологічні порушення встановлено стадійність розвитку системних змін організму після термічної травми: 1-3 доба – мікроциркуляторні розлади і ініціація дистрофічних змін; 7-14 доба – прогресування і стабілізація дистрофічних змін; 21-30 доба – активізація відновлювальних процесів та гемодинаміки.

При аналізі змін аденоґіофіза спостерігались різка дилатація та кровонаповнення гемокапілярів вже на першу добу спостереження, однак периваскулярного набряку, діапедезу формених елементів крові та лейкоцитарного інфільтрату не відмічено. Середня площа поперечного перерізу гемокапілярів аденоґіофіза на 1-3 добу після опіку збільшилась на 60% і 180% порівняно із контролем ( $p<0,001$ ). Загальним проявом ультраструктурних порушень є набряк цистерн ендоплазматичної сітки, набряк матриксу мітохондрій і кристоліз, капіопікноз та редукція

**Таблиця 2**

**Вплив фармакотерапії 0,9% розчином NaCl, лактопротеїном-С та HAES-LX-5% на показники летальності щурів з опіковою травмою шкіри**

Умови досліду	Летальність тварин (n - %)					
	Термін спостереження (дoba)					
	1	2-3	4-7	8-14	15-21	22-30
Опік + 0,9 % розчин NaCl (n=200)	n=10 (5 %)	n=21 (10,5 %)	n=22 (11 %)	n=17 (8,5 %)*	n=11 (5,5 %)	n=6 (3 %)
Опік + HAES-LX-5 % (n=120)	n=2 (1,7 %)	n=4 (3,3 %)*	n=5 (4,2 %)*	n=4 (3,3 %)†	n=2 (1,7 %)	n=1 (0,8 %)
Опік + лактопротеїн-С (n=120)	n=1 (0,8 %)*	n=4 (3,3 %)*	n=3, (2,5 %)*	n=3 (2,5 %)*	n=1 (0,8 %)*	n=3 (1,7 %)

**Примітки:**

- \* – достовірна різниця відносно контролю (опік + 0,9 % NaCl);
- # – тенденція різниці відносно контролю (опік + 0,9 % NaCl).

Таблиця 3.

Зміни просвіту ( $\text{мкм}^2$ ) гемокапілярів adenogіпофіза і надніркової залози щурів при опіковій травмі

№	Показник	Контроль	Доба спостереження					
			1	3	7	14	21	30
1	Аденогіпофіз	254,8 $\pm$ 39,2	404,1 $\pm$ 50,9*	736,5 $\pm$ 130,8*,**	530,8 $\pm$ 106,5*	492,2 $\pm$ 65,8*	589,2 $\pm$ 65,1*	549,2 $\pm$ 77,2*
2	Кіркова речовина надніркової залози	101,4 $\pm$ 8,1	105,9 $\pm$ 7,2	121,0 $\pm$ 10,1*,**	183,6 $\pm$ 24,3*,**	180,3 $\pm$ 11,6*	155,2 $\pm$ 11,3*	148,3 $\pm$ 23,3*
3	Мозкова речовина надніркової залози	128,3 $\pm$ 15,1	165,2 $\pm$ 19,6*	791,1 $\pm$ 159,2*,**	639,5 $\pm$ 82,6*	905,1 $\pm$ 204,6*,**	1033,4 $\pm$ 210,0*	707,2 $\pm$ 85,8*,**

Умовні позначення: \* – достовірно по відношенню до показників контрольної (інтактної) групи щурів ( $p<0,05$ ); \*\* – достовірно порівняно із попереднім терміном спостереження ( $p<0,05$ ).

Таблиця 4.

## Морфометричні параметри клітин надніркової залози щурів при опіковій травмі

№	Показник	Контроль	Доба спостереження					
			1	3	7	14	21	30
Площа ядер клітин, $\text{мкм}^2$								
1	Аденогіпофіз	25,5 $\pm$ 2,3	27,3 $\pm$ 2,1*	30,2 $\pm$ 2,8*,**	35,2 $\pm$ 2,5*	34,6 $\pm$ 2,8*	34,2 $\pm$ 2,1*	33,8 $\pm$ 2,6*
2	Кіркова речовина надніркової залози	52,2 $\pm$ 1,8	55,4 $\pm$ 1,5*	61,2 $\pm$ 2,4*,**	68,2 $\pm$ 2,5*,**	64,6 $\pm$ 1,8*	61,1 $\pm$ 2,0*	63,2 $\pm$ 2,2*
3	Мозкова речовина надніркової залози	59,3 $\pm$ 2,3	67,6 $\pm$ 2,4*	79,2 $\pm$ 4,1*,**	99,2 $\pm$ 3,5*,**	93,8 $\pm$ 4,0*,**	98,2 $\pm$ 3,8*	80,6 $\pm$ 3,8*,**
Площа тіл клітин, $\text{мкм}^2$								
1	Аденогіпофіз	115,2 $\pm$ 6,2	116,8 $\pm$ 7,1*	118,6 $\pm$ 7,6*	120,2 $\pm$ 6,5*	119,3 $\pm$ 4,9*	120,1 $\pm$ 6,5*	117,6 $\pm$ 6,5*
2	Кіркова речовина надніркової залози	134,2 $\pm$ 4,8	165,5 $\pm$ 10,3*	217,2 $\pm$ 16,2*,**	206,3 $\pm$ 9,6*	207,3 $\pm$ 10,2*	199,5 $\pm$ 9,2*	202,1 $\pm$ 11,3*
4	Нейронів мозкової речовини	249,3 $\pm$ 12,6	309,2 $\pm$ 19,6*	313,1 $\pm$ 21,2*	278,2 $\pm$ 15,9*,**	291,3 $\pm$ 14,3*	299,1 $\pm$ 25,3*	265,2 $\pm$ 13,9**

Умовні позначення: \* – достовірно по відношенню до показників контрольної (інтактної) групи щурів ( $p<0,05$ ); \*\* – достовірно порівняно із попереднім терміном спостереження ( $p<0,05$ ).

органел. Збільшення розмірів мітохондрій на 1 добу пояснюється частковою функціональною гіпертрофією органел, проте головною причиною є набряк матриксу мітохондрій, що різко виражений на 3 добу досліду і реєструється впродовж всього терміну спостереження. Це, в свою чергу, асоційовано із деструкцією органел вакуолярної системи, результатом чого є різке збільшення атипових поліморфних везикул в цитоплазмі ушкоджених соматотропів та тиреотропів (рис. 1А). Критична вакуолізація цитоплазми клітин adenogіпофіза привела до їх деструкції і некрозу. Одночасно з цим відмічено апоптично змінені соматотропи. Тиротропи і кортиcotропи характеризуються зменшенням кількості секреторних гранул та різкою вакуолізацією органел. Ультраструктура інших хромофільних клітин (гонадотропів, тиреотропів, кортиcotропів) та хромофобних клітин також перебуває в дистрофічних процесах.

На 7-21 добу в adenogіпофізі встановлено тромбоз гемокапілярів (рис. 1Б), просвіт яких збільшився на 90-100% і майже не змінювався до 30 доби спостереження. В порівнянні з попереднім періодом спостереження, в багатьох ендокриноцитах спостерігалось суттєве зменшення кількості та розподілу секреторних гранул. Особливо виражену дегрануляцію відмічено у тиреотропах і кортиcotропах. При цьому елімінація дистрофічних ендокри-

цитів на 14-30 добу відбувається за рахунок апоптозу і аутофагії.

Слід зазначити, що розвиток морфологічних змін в наднірковій залозі щурів після опіку не корелює з секреторною активністю кортиcotропів adenogіпофіза і обу-

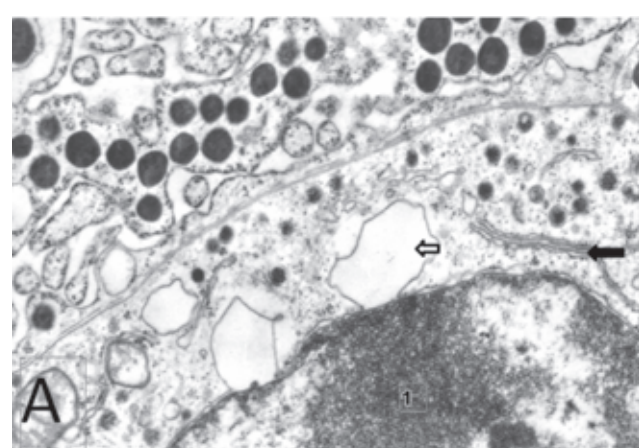
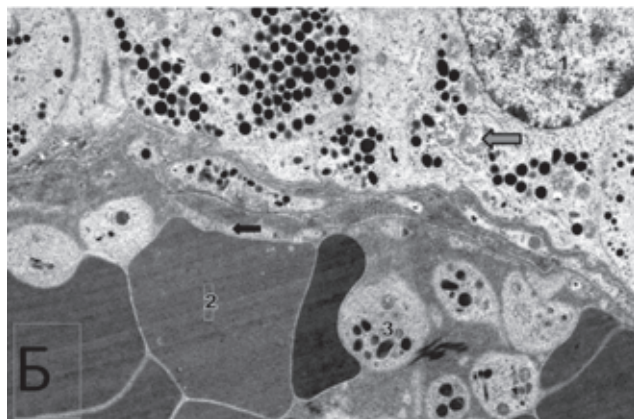


Рис. 1А. Дистрофічно змінений тиреотроп adenogіпофіза щура через 7 діб після опіку. Перинукlearний набряк, редукція органел. Умовні позначення: 1 – ядро; ← мітохондрій; ← ендоплазматична сітка. Електронограма. Зб. 52000.

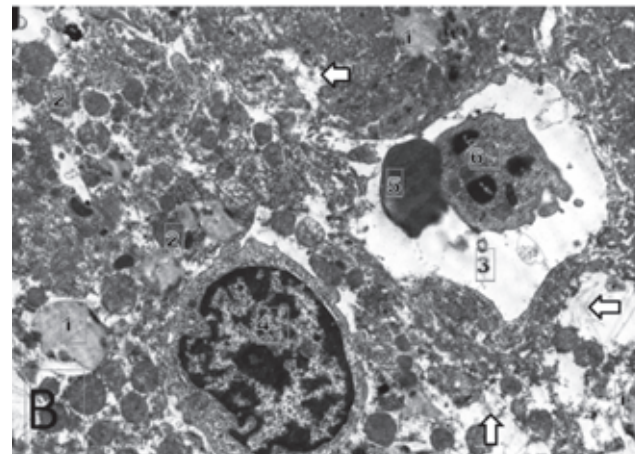


**Рис. 1Б.** Тромбоз гемокапіляра аденогіпофіза щура на 21 добу після опіку. Периваскулярні соматотропи без ознак різких патологічних змін, зустрічаються лише окремі органели з ознаками набряку. Умовні позначення: 1 – неушкоджений соматотроп; 2 – еритроцит; 3 – тромбоцит; 4 – набряк органел; 5 – ендотелій. Електронограма. Зб. 10000.

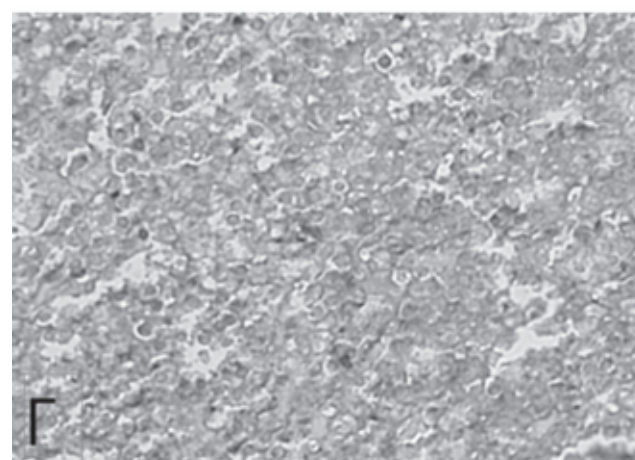
мовлені регіонарними дисциркуляторними порушеннями. Показано, що на 1 добу опікового періоду в наднирковій залозі зміни відбуваються лише на рівні мікроциркуляторного русла, що гістологічно реєструється в вазоділатації і еритроцитарному стазі. На ультраструктурному рівні стінка гемокапілярів не порушенна, але в ендотеліоцитах відмічено дистрофічні зміни (набряк цитоплазми, мітохондрій, редукцію органел). Ознак перицелюлярного та периваскулярного набряку в корі і мозковій речовині надниркових залоз не відмічено. В поодиноких адренокортикоцитах та хромафільних клітинах встановлено реактивні зміни. На 3 добу після опіку в просвіті гемокапілярів відмічено продукти некрозу клітин, що свідчить про розвиток дистрофічних змін та порушення цілісності гістогематичних бар'єрів в органах. Навколо уражених і стазованих кровоносних судин встановлено набряком та редукцією органел адренокортикоцитів та епінефроцитів. Просвіт гемокапілярів збільшився кіркової речовини на 20%, а синусоїдних венул мозкової речовини – майже на 517% ( $p < 0,001$ ).

В період 7-14 доби спостереження встановлено стабілізацію темпу розвитку деструктивних процесів в наднирковій залозі. Більшість гемокапілярів (збільшення просвіту на 80%) і синусоїдних венул (збільшення просвіту на 607%) були стазованими з ознаками тромбозу і гемоконцентрації ( $p < 0,001$ ). На тлі розладів регіонарної гемодинаміки відмічено некроз і апоптоз адренокортикоцитів, епінефроцитів і норепінефроцитів мозкової речовини надниркових залоз (рис. 1 в, г, д, е), що знайшло своє відображення в збільшенні площин ядер і соми клітин (табл. 2).

На 21-30 добу після опіку структурні зміни досягли тотального характеру, деривати некротизованих клітин потрапляють в кровотік крізь структурно ушкоджені гемокапіляри, деякі з них також перебувають в стані ангіонекрозу. Стінка гемокапіляра втрачеє цілісність, що підтверджується локальним відшаруванням ендотелію від базальної мембрани та діапедезом еритроцитів в периваскулярний простір та паренхіму залози. В окремих зонах кіркової речовини встановлено вогнища крововиливу

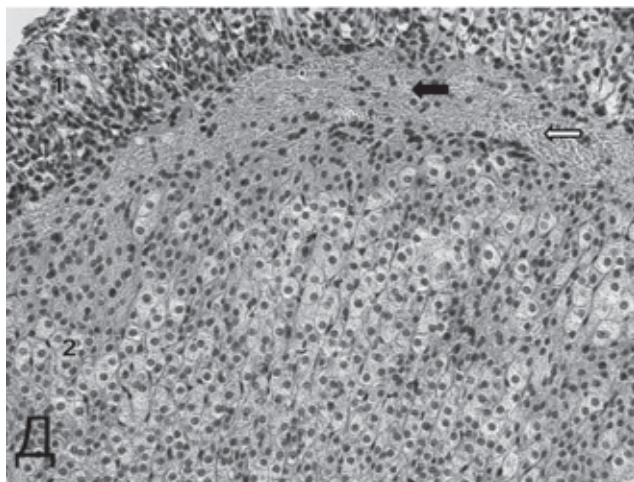


**Рис. 1В.** Набряк периваскулярних ендокриноцитів кіркової речовини надниркових залоз щура на 3 добу після опіку. Порушення стінки гемокапіляра, в просвіті реєструються стаз формених елементів. Деструкція органел в ендокриноцитах, їх дегрануляція. Умовні позначення: 1 – ліпідні гранули; 2 – мітохондрій; 3 – просвіт гемокапіляра; 4 – ядро ендокриноцита; 5 – еритроцит; 6 – тромбоцит; 7 – набряк цитоплазми. Електронограма. Зб. 8200.

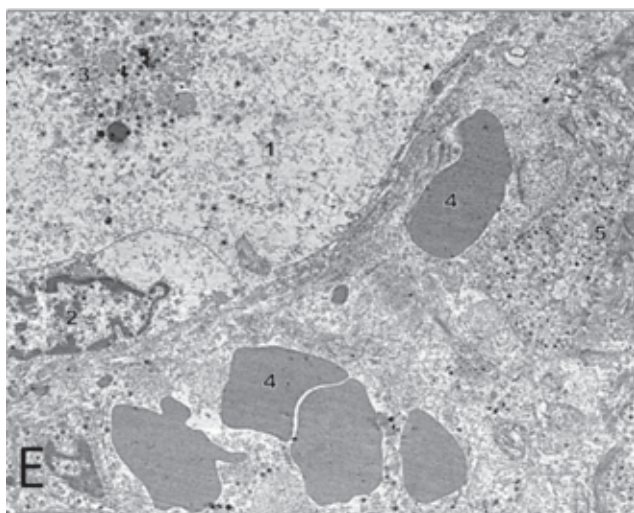


**Рис. 1Г.** Надниркова залоза щура на 7 добу після опіку і введення фізіологічного розчину. Порушення гістоархітектоніка і некроз кіркової речовини. Гематоксилін-пікрофуксин. Об. 10, ок. 20.

за типом геморагічного просочування. Крововиливи спостерігались головним чином в субгермінативній та рідше в сітчастій зоні кори надниркових залоз (рис. 1 д). При цьому явищ дислокації клітинних утворень структурно-функціональних зон кіркової речовини не відмічено, порушення цілісності капсули залози або проявів лейкокцитарного інфільтрату також не спостерігались. Такі порушення можуть свідчити про вогнищеве ураження цілісності окремих гемокапілярів, саме в період 21-30 доби, що підтверджується відсутністю явища гемолізу. В субгермінативній зоні кори надниркової залози також встановлено явище організації, що морфологічно можна охарактеризувати у вигляді збільшення щільноті стромальних елементів і адренокортикоцитів залози. Структурна цілісність кіркової речовини відновлюється за рахунок проліферативних процесів. Проте навіть через 30 діб після опіку структурно-функціональні елементи нерво-



**Рис. 1Д.** Надниркова залоза щурів 30 добу після опіку. Сполучнотканинна організація, геморагічне просочування субгемінативної зони, окрім дистрофічні зміни кіркової речовини. Умовні позначення: ← крововилив; ← явище сполучнотканинної організації; 1 – клубочкова зона; 2 – пучкова зона. Гематоксилін-пікрофуксин. Об. 10, ок. 20.

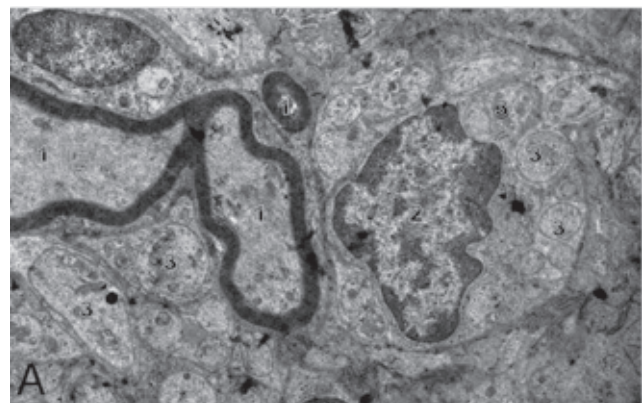


**Рис. 1Е.** Зміни мікроциркуляції в мозковій речовині надниркової залози щура після опіку. Дистрофічні зміни ендотелію гемокапіляра, зміни плазми крові, діапедез еритроцитів в хромофільну тканину. Умовні позначення: 1 – просвіт гемокапіляра; 2 – ядро ендотеліоцита; 3 – фрагменти некрозу клітин в плазмі крові; 4 – еритроцити; 5 – епінефроцит.

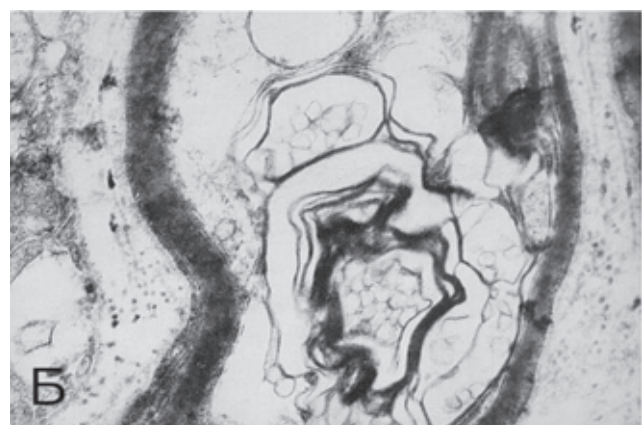
Термін спостереження: 21 доба. Електронограма. Зб. 19800.

вої системи в наднирковій залозі не відновлюються. Зокрема, неушкоджені мієлінові та безмієлінові нервові волокна відмічено лише в мозковій речовині контрольної групи шурів (рис. 2 а, б). При опіковій травмі встановлено деструктивні зміни, що ультраструктурно реєструються у вигляді дезорганізації осьового циліндра, відшарування і набряку мієлінової оболонки, що очевидно пов’язано із розвитком трофічних порушень.

**Висновки.** В нашому дослідженні ми аналізували перебіг структурних змін органів гіпофізарно-адреналової системи при термічній травмі. В патогенезі опікової хвороби виділяють три періоди: опіковий шок (перший тиждень опіку), токсемія (до 21 доби), септикотоксемія (до віднов-



**Рис. 2А.** Неушкоджені мієлінові нервові волокна та нейролемоцити надниркової залози у щурів контрольної групи. Умовні позначення: 1 – мієлінові нервові волокна; 2 – ядро адренокортикоцита; 3 – безмієлінові нервові волокна. Електронограма. Зб. 12000.



**Рис. 2Б.** Деструкція осьового циліндра і мієлінової оболонки нервових волокон мозкової речовини надниркових залоз у щурів із опіком. Електронограма. Зб. 36000.

лення уражених покривів). Як свідчать отримані нами результати, експериментальна модель опікової травми також характеризується стадійним перебігом. Перші сім діб характеризуються прогресуванням дисциркуляторних змін і відповідних дистрофічних порушень, що, починаючи з 14 доби, стабілізуються і на 30 добу переходят до відновних процесів [9]. Нажаль, гістологічні і ультраструктурні методи обмежені дослідженням структурних змін в органах і лише опосередковано свідчать про секреторну активність аденогіпофіза і надниркової залози. Однак нами встановлено різку дегрануляцію соматотропів і кортиcotропів адено-гіпофіза в гострий період опікової травми, що ймовірно пов’язано із активацією стресової реакції симпато-адреналової системи (адренергічних нейронів мозкової речовини і адренокортикоцитів) і відновних процесів в термічно уражених тканинах. Проте аналіз ультраструктурних змін надниркової залози свідчить про швидкий розвиток дистрофічних процесів на тлі порушень системної і регіонарної гемодинаміки. Як вже згадувалось вище саме цей патогенетичний чинник лежить в основі структурно-функціональних порушень досліджуваної нейроендокринної системи.

На сьогоднішній день відомо дві основні причини гемодинамічних порушень при термічних опіках – гемо-

концентрація після значної плазмовтрати і вазоконстрикція внаслідок різкого виділення катехоламінів. Різка гіперкатехоламініемія спостерігається в стадії опікового шоку і дещо знижується по закінченні гострого періоду опікової хвороби, але знову зростає в період септико-токсемії [10, 11]. Системні реакції адреналіну, що проявляються у вигляді тахікардії, збільшення систолічного артеріального тиску, збільшення споживання кисню й посиленням тепlopродукції [6], супроводжують всі стадії опікової хвороби і пригнічуються лише після загоюванням опікової рани [12]. Негативним наслідком вазоконстрикції є циркуляторна гіпоксія, що викликає дистрофічні зміни в органах, поліорганну недостатність [13]. Таким чином, адаптаційні реакції організму на рівні гіпоталамо-гіпофізарно-адреналової і симпато-адреналової системи реалізуються як на місцевому, так і системному рівні. В свою чергу АКТГ здійснює потужний вплив на кору надніиркових залоз, що продукують альдостерон, кортизол та кортикостерон і впливають на систему регуляції водно-електролітного балансу [5].

Кортизол стимулює процеси глюконеогенезу, збільшуючи рівень стійкої і тривалої гіперглікемії [14, 15]. В свою чергу бальзовий синдром і зниження об'єму крові як фактори опікового стресу підвищують секрецію антидіуретичного гормону (АДГ) нейрогіпофізом. Впливаючи на печінку, АДГ стимуляції глікогеноліз і глюконеогенез, що спричиняє негативний азотистий баланс після опіку [16].

Під час довготривалого періоду реконвалесценції при тяжких опіках відомі випадки дисоціації між високим рівнем кортизолу в плазмі і низьким рівнем АКТГ, що, на думку авторів, свідчить про активацію інших механізмів регуляції кори надніиркових залоз (зокрема, дії прозапальних цитокінів) [17, 18, 19].

Рівень циркулюючого кортикостерону не тільки визначає формування стресорної реакції при термічному опіку, але і пов'язаний з формуванням імунної реакції [14]. Високий рівень кортикостерону та катехоламінів після опіку негативно впливає на функцію макрофагів і Т-лімфоцитів, як відомо, інгібуючи синтез значної кількості цитокінів, включаючи клас IL і TNF [20, 21, 22]. В окремих дослідженнях встановлено, що вже на 1 добу після опіку в тимоцитах відбувається збільшення презентування рецепторів до глюкокортикоїдів та розвиток апоптозу клітин тимусу [23]. При цьому втрачається функція розпізнавання антигенів, що є передумовою розвитку вторинного імунодефіциту і сепсису. Зрозуміло, що для відновлення гемодинаміки та зменшення розвитку поліорганної недостатності необхідні подальші спеціальні дослідження з використанням інфузійних фармакологічних засобів, що відновлюють реологічні властивості крові та мікроциркуляцію, а можливо і розробку інноваційного лікарського засобу.

*Рецензент: член-кор. НАМН України, д. мед. н., професор Чайковський Ю.Б.*

## ЛІТЕРАТУРА

1. А.Н. Афонин, Тяжелая сочетанная травма и её осложнения. Современное состояние проблемы”, Медицина неотложных состояний, №1(2), 50-53 (2006).

2. Т. Г. Григор'єва, “Ожоговая болезнь”, Междунар. мед. журн., 6, 53-60 (2000).
3. X. Q. Xie, Y. Shinozawa, J. Sasaki, et al., “Neuroendocrine system response modulates oxidative cellular damage in burn patients”, Tohoku. J. Exp. Med., 211, 161-169 (2007).
4. R. T. Mitchell, D. Funk, R. Spiwak, et al., “Phenylephrine tumescence in split-thickness skin graft donor sites in surgery for burn injury- a concentration finding study”, J. Burn Care Res. 32, 129-134 (2011).
5. P. Ch. Fuchs, A. Groger, A. Bozkurt, et al. “Cortisol in severely burned patients: investigations on disturbance of the hypothalamic-pituitary-adrenal axis”, Shock, 28, 662-667 (2007).
6. S. J. Liu, Y. F. Xie, L. B. Dai, et al., “Expression of secretions of hypothalamus-pituitary-adrenal axis in human hypertrophic scar” Zhonghua Shao Shang Za Zhi. 27, 432-435 (2011).
7. H. M. Li, Z. Q. Liang, Z. J. Luo, “Clinical study on the postburn change in the hypothalamus-pituitary-adrenal hormones in severely burned patients” Zhonghua Shao Shang Za Zhi., 19, 169-171 (2003).
8. Д. П. Лещов, “Вплив препарату перфторан на кисневий статус у хворих із тотальними опіками”, Медичні перспективи, 5, 24-27 (2000).
9. В. А. Лавров, В.Л. Виноградов, “Ожоговый шок: патогенез, клиника, лечение” Науч. практик. журнал. Ин-та хирургии им. А.В. Вишневского РАМН, №2, 1-5 (2000).
10. M. G. Jeschke, G. G. Gauglitz, G. A. Kulp, et al. “Long-term persistence of the pathophysiologic response to severe burn injury” PLoS One. 6, e21245 (2011).
11. A. Samuelsson, S. Farnebo, B. Magnusson, “Implications for burn shock resuscitation of a new in vivo human vascular microdosing technique (microdialysis) for dermal administration of noradrenaline”, Burns, 38, 975-983 (2012).
12. K. L. Hall, S. Shahrokh, M. G. Jeschke, “Enteral nutrition support in burn care: a review of current recommendations as instituted in the Ross Tilley Burn Centre”, Nutrients, 4, 1554-1565 (2002).
13. F. N. Williams, D. N. Herndon, M. G. Jeschke, “The hypermetabolic response to burn injury and interventions to modify this response” Clin. Plast. Surg., 36, 583-596 (2009).
14. D. Pileri, A. Accardo-Palumbo, L. D'Amelio, et al. “Serum levels of cortisol, immunoglobulin, and C-reactive protein in burn patients”, Ann. Burns Fire Disasters., 22, 3-5 (2009).
15. J. Cohen, R. Deans, A. Dalley, et al., “Measurement of tissue cortisol levels in patients with severe burns: a preliminary investigation” Crit. Care, 13, 189 (2009).
16. E. F. Barynov, E. I. Fistal, O. E., et al. “Effects of thermal injury on the reactivity of the neuroendocrine system”, Fiziol. Zh., 48, 43-46 (2002).
17. P. Schuetz, B. Muller, “The hypothalamic-pituitary-adrenal axis in critical illness”, Endocrinol. Metab. Clin. North. Am., 35, 823-838 (2006).
18. J. Cassuto, P. Tarnow, L. Yregerd, et al., “Adrenoceptor subtypes in the control of burn-induced plasma extravasation”, Burns, 31, 123-129 (2005).

19. W. B. Norbury, D. N. Herndon, L. K. Branski, et al., "Urinary cortisol and catecholamine excretion after burn injury in children", *Endocrinol. Metab.*, 93, 1270–1275 (2008).
20. H. Takahashi, Y. Tsuda, M. Kobayashi, et al., "Increased norepinephrine production associated with burn injuries results in CCL2 production and type 2 T cell generation", *Burns*, 30, 317-321 (2004).
21. M. J. Cohen, R. Shankar, J. Stevenson, et al., "Bone marrow norepinephrine mediates development of functionally different macrophages after thermal injury and sepsis", *Ann. Surg.*, 240, 132-141 (2004).
22. N. M. Abdel-Hafez, S. Y. Hassan, T. H. El-Metwally, "A study of biomarkers, cytokines, and growth factors in children with bum injuries" *Ann. Burns Fire Disasters*, 20, 89-100 (2007).
23. M. D'Elia, J. Patenaude, J. Bernier, "Regulation of glucocorticoid sensitivity in thymocytes from burn-injured mice" *Am. J. Physiol. Endocrinol. Metab.*, 296, 97-104 (2009).

## МОРФОЛОГИЧЕСКИЕ ИЗМЕНЕНИЯ ГИПОФИЗАРНО-АДРЕНАЛОВОЙ СИСТЕМЫ КРЫС ПРИ ТЕРМИЧЕСКОЙ ТРАВМЕ

Ковальчук А.И., Дзевульська І.В.,  
Титаренко В.Н., Маликов А.В.

Национальный медицинский университет  
имени А. А. Богомольца, г. Киев, Украина

**Резюме:** на модели экспериментального локально-го термического ожога исследовали реактивные изменения гипофизарно-адреналовой системы крыс. При ожоге установлены неспецифические деструктивные изменения паренхимы и стромальных элементов аденогипофиза и надпочечников. Нарушения имеют стадий-ный характер развития органной дисфункции: 1-3 сутки – микроциркуляторные расстройства и инициация дистро-фических изменений; 7-14 сутки – прогрессирование и стабилизация дистрофических изменений; 21-30 сутки – активация восстановительных процессов и гемоди-намики. В патогенезе ожогового поражения органов ведущее место занимают изменения регионарной ге-модинамики. Нарушение микроциркуляции вызывают ишемическое поражение клеток, развитие дистрофичес-ких нарушений, а в случае критической гипоксии некроз ткани органов.

**Ключевые слова:** ожог, аденогипофиз, надпочечник, структурные изменения.

## MORPHOLOGICAL CHANGES OF RAT PITUITARY-ADRENAL SYSTEM AFTER THERMAL INJURY

A.I. Kovalchuk, I.V.Dzevulska,  
V.N. Titarenko, A.V. Malikov

Bogomolets National Medical University, Kyiv, Ukraine

**Summary:** on the experimental model of the local thermal burn we investigated reactive changes of the pituitary-adrenal system in rats. In burned rat installed nonspecific destructive changes parenchymal and stromal elements of the adenohypophysis and adrenal glands. Changes characterized three phases of the development of organ dysfunction: 1-3 days – microcirculatory disorders and degenerative changes of initiation; 7-14 day – the progression of degenerative changes and stabilization; 21-30 day – activation of regenerative processes and hemodynamics. In the pathogenesis of burn injury leading place has regional hemodynamic changes. Microcirculation disturbance cause ischemic cell injury, development of dystrophic disorders and in critical hypoxia caused tissue necrosis.

**Key words:** burn, anterior pituitary, adrenal, structural changes.